

# Abordagem de Super-Resolução Baseada em Autoencoder para Navegação de Robôs Aéreos

Jhonathan A. Oliveira<sup>1</sup> e Felipe G. Oliveira<sup>2</sup>

<sup>1</sup>Inst. de Computação (ICOMP) - Univ. Federal do Amazonas (UFAM)

<sup>2</sup>Inst. de Ciências Exatas e Tecnologia (ICET) - Univ. Federal do Amazonas (UFAM)

jholiveira@icomp.ufam.edu.br, felipeoliveira@ufam.edu.br

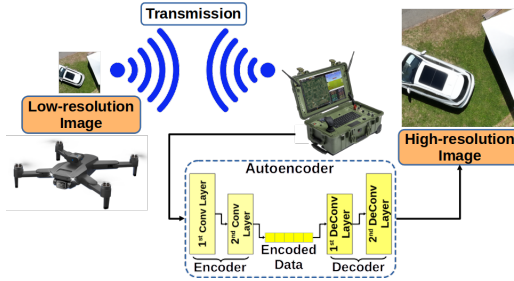
**Resumo.** *Imagens são amplamente utilizadas na navegação de veículos aéreos autônomos, mas seu processamento local pode exigir alta capacidade computacional e consumo energético. Como alternativa, este artigo propõe o método AESR (Autoencoder-based Super-Resolution) para viabilizar o processamento remoto, reconstruindo imagens de alta resolução a partir de versões de baixa resolução capturadas pelo veículo. A abordagem utiliza autoencoders com conexões de salto e módulos de autoatenção. Os resultados mostram que o AESR supera técnicas do estado da arte em métricas como PSNR, SSIM, LPIPS, DISTS, NIQE e BRISQUE, mesmo em cenários desafiadores.*

## 1. Introdução

Na robótica móvel, o processamento remoto de dados dos sensores é uma prática comum que reduz as exigências computacionais locais e o consumo de energia do robô, além de possibilitar, em alguns casos, a transmissão de um volume menor de dados, aliviando a carga na comunicação. As câmeras, amplamente utilizadas nesses sistemas, fornecem imagens fundamentais para tarefas como detecção de objetos, navegação e mapeamento. No entanto, a qualidade dessas imagens pode ser afetada por limitações do dispositivo de captura, transmissão ou compressão, comprometendo a operação autônoma em tempo real [Abdullah et al. 2021]. Nesse contexto, a super-resolução surge como uma abordagem promissora para reconstruir imagens de alta resolução a partir de versões de baixa resolução, aumentando a nitidez e o nível de detalhes. Essa técnica tem se mostrado eficaz em aplicações como navegação autônoma [Angarano et al. 2023] e sistemas de vigilância [Gonzalez et al. 2022], sendo especialmente útil em veículos aéreos não tripulados (VANTs) [Lin et al. 2023]. A Figura 1 ilustra a aplicação da abordagem de super-resolução proposta, destacando seu potencial para auxiliar na navegação autônoma de veículos aéreos por meio do processamento remoto de imagens.

Neste trabalho, propõe-se o AESR (Autoencoder-based Super-Resolution), uma abordagem de aprendizado profundo baseada em arquitetura de autoencoder para reconstrução de imagens de alta resolução a partir de dados de baixa resolução. O método foi desenvolvido para processar imagens aéreas, visando facilitar o processamento remoto na navegação de veículos aéreos autônomos. Para isso, o autoencoder foi integrado a conexões de salto (skip connections) e módulos de autoatenção (self-attention modules), aprimorando o processo de aprendizado e a capacidade de generalização do modelo.

As principais contribuições deste trabalho são apresentadas a seguir:

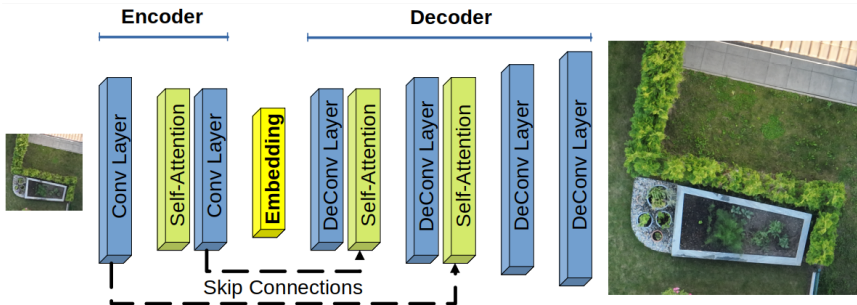


**Figura 1: Exemplo de aplicação de uma técnica de super-resolução para apoiar a navegação de veículos aéreos.**

- Uma abordagem inovadora de aprendizado para o problema de super-resolução, capaz de gerar imagens aéreas de alta qualidade a partir de dados de baixa resolução. A metodologia proposta extrai conhecimento a partir de um conjunto de dados desafiador, composto por diversas imagens aéreas, para estimar valores de pixels desconhecidos durante o processo de aumento de resolução;
- Combinação de conexões de salto e módulos de autoatenção em uma arquitetura de autoencoder, integrando a preservação de informações relevantes e a melhoria da capacidade do modelo de focar em regiões específicas da imagem.

## 2. Metodologia

Este artigo aborda o problema da super-resolução, reconstruindo imagens aéreas em alta resolução a partir de dados de baixa resolução [Oliveira et al. 2024]. A metodologia proposta será detalhada nas subseções seguintes.



**Figura 2: Visão geral da metodologia proposta para super-resolução de imagens aéreas.**

### 2.1. Autoencoder para Super-Resolução

Autoencoders são um tipo de arquitetura de rede neural projetada para aprender representações eficientes dos dados. Esse processo permite que o modelo capture características essenciais enquanto elimina ruídos [Liu et al. 2021]. Um autoencoder é composto por dois principais componentes: uma função de codificação  $f$  e uma função de decodificação  $g$ . O codificador mapeia a entrada  $x$  para uma representação latente  $z$  em um espaço de menor dimensão, i.e.,  $z = f(x)$ . O decodificador tenta reconstruir a entrada a partir dessa representação latente, produzindo  $\hat{x} = g(z)$ . O objetivo do treinamento é minimizar o erro de reconstrução, geralmente medido por uma função de perda. Neste trabalho, utilizou-se a função de perda baseada no Índice de Similaridade Estrutural (SSIM), que é mais adequada para preservar informações perceptuais e estruturais.

A função de perda SSIM mede a similaridade entre a entrada original  $x$  e a saída reconstruída  $\hat{x}$  em termos de luminância, contraste e estrutura, aspectos cruciais para a percepção visual humana. A função de perda pode ser representada como:

$$L(x, \hat{x}) = 1 - \text{SSIM}(x, \hat{x}) \quad (1)$$

onde:

$$\text{SSIM}(x, \hat{x}) = \frac{(2\mu_x\mu_{\hat{x}} + C_1)(2\sigma_{x\hat{x}} + C_2)}{(\mu_x^2 + \mu_{\hat{x}}^2 + C_1)(\sigma_x^2 + \sigma_{\hat{x}}^2 + C_2)} \quad (2)$$

Nesta equação,  $\mu_x$  e  $\mu_{\hat{x}}$  representam as médias de  $x$  e  $\hat{x}$ ;  $\sigma_x^2$  e  $\sigma_{\hat{x}}^2$  são as variâncias;  $\sigma_{x\hat{x}}$  é a covariância entre  $x$  e  $\hat{x}$ ; e  $C_1$  e  $C_2$  são constantes utilizadas para estabilizar a divisão [Wang et al. 2004]. Ao utilizar a função de perda SSIM, o autoencoder é orientado a preservar a integridade estrutural e perceptual das imagens durante o processo de reconstrução.

O processo de codificação é realizado por meio de uma sequência de camadas convolucionais, funções de ativação e pooling, retendo apenas as informações mais relevantes. As camadas convolucionais aplicam filtros aprendidos à imagem de entrada, capturando progressivamente características de nível mais elevado enquanto reduzem as dimensões espaciais. A arquitetura do codificador proposta é composta por duas camadas convolucionais, com 64 e 128 filtros na primeira e segunda camada, respectivamente. Essas camadas são seguidas pela função de ativação ReLU e pelo Max Pooling de tamanho  $(2 \times 2)$ , resultando na representação de embedding.

O processo de decodificação, por sua vez, tem como objetivo reconstruir a imagem de entrada a partir da representação de embedding  $z$ . Esse processo é realizado por meio de camadas de deconvolução, também conhecidas como camadas convolucionais transpostas, que executam o upsampling progressivo dos mapas de características até o espaço original da entrada. A arquitetura do decodificador proposta é composta por quatro camadas de deconvolução, com 128, 64, 32 e 16 filtros, respectivamente, da primeira à quarta camada. Essas camadas são seguidas pela função de ativação ReLU e pelo Max Pooling de tamanho  $(2 \times 2)$ , resultando na imagem aérea predita em alta resolução.

### 2.1.1. Conexões de Salto

As conexões de salto conectam diretamente a saída de camadas iniciais a camadas posteriores, mitigando o problema do desaparecimento do gradiente e preservando detalhes finos ao possibilitar que a rede contorne certas transformações. Isso permite que informações espaciais cruciais não são perdidas durante o processo de codificação e podem ser diretamente utilizadas durante a reconstrução. Na arquitetura de autoencoder proposta, a primeira conexão de salto conecta a primeira camada do codificador à primeira camada do decodificador, após a aplicação do módulo de autoatenção. A segunda conexão de salto conecta a segunda camada do codificador à segunda camada do decodificador, também após a aplicação do módulo de autoatenção, conforme ilustrado na Figura 2.

### **2.1.2. Módulos de Autoatenção**

Os módulos de autoatenção permitem que a rede concentre-se em regiões importantes da imagem ao ponderar dinamicamente diferentes partes da entrada, facilitando a captura de dependências locais e globais dentro da imagem. Na arquitetura de autoencoder proposta, o módulo de autoatenção é composto por duas camadas convolucionais com 64 e 128 filtros, na primeira e segunda camada, respectivamente. Os filtros possuem tamanho  $1 \times 1$  e são seguidos por normalização em batch (batch normalization) e função de ativação ReLU. Os módulos de autoatenção são aplicados após a primeira camada do codificador, após a primeira camada do decodificador e após a segunda camada do decodificador (conforme ilustrado na Figura 2).

## **3. Experimentos**

### **3.1. Ambiente Experimental**

A abordagem proposta utiliza os frameworks OpenCV e TensorFlow em um computador Dell, equipado com processador Intel® Xeon<sup>TM</sup> Silver 4114 de 2,20 GHz, 128 GB de memória DDR4-2133 e uma placa NVIDIA® GeForce® RTX A4000 com 16 GB de memória GDDR6. Na etapa de treinamento, foi utilizado o framework Grid Search para ajuste dos hiperparâmetros, incluindo o número de filtros, o tamanho dos filtros, o tamanho do lote (batch size), o número de épocas (epochs), o algoritmo de otimização e a taxa de aprendizado, com o objetivo de alcançar alta precisão. Como resultado desse ajuste, o tamanho do lote foi definido como 16, o número de épocas como 50 e a taxa de aprendizado como 0,0001.

### **3.2. Conjunto de Dados**

Nos experimentos, utilizou-se o desafiador conjunto de dados DSR (Drone Super-Resolution) [Lin et al. 2023] para validar a metodologia proposta de super-resolução no domínio aéreo. Esse conjunto de dados é composto por 2132 imagens aéreas, sendo 1066 imagens de baixa resolução e 1066 imagens correspondentes de alta resolução. As imagens de baixa resolução possuem dimensão de  $180 \times 180$ , enquanto as imagens de alta resolução têm dimensão de  $720 \times 720$ , ou seja, são  $4 \times$  maiores do que as imagens de baixa resolução.

### **3.3. Métricas de Qualidade da Imagem**

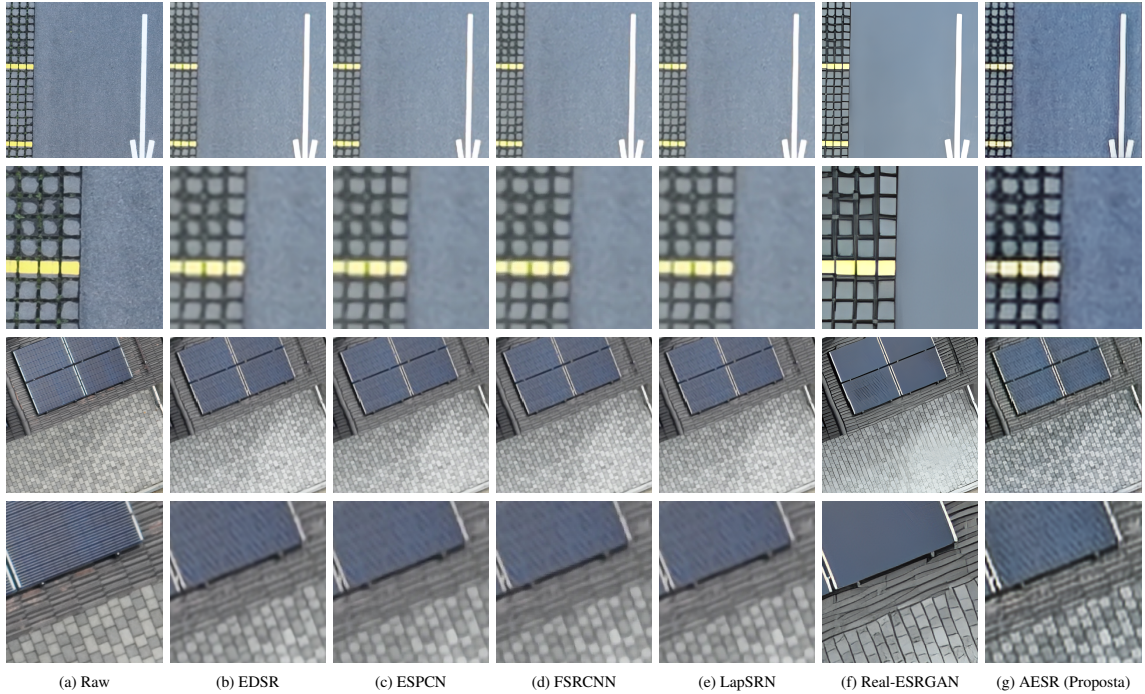
Na análise quantitativa, foram avaliados os resultados obtidos pelo método proposto (AESR) e pelas técnicas da literatura utilizadas como comparação. Na análise com referência, em que a imagem predita é comparada com a imagem de referência, foram utilizados os indicadores PSNR [Pratt 1978], SSIM [Wang et al. 2004], LPIPS [Zhang et al. 2018] e DISTS [Ding et al. 2022]. Já na análise sem referência, em que a imagem predita não é comparada com imagens de referência, foram utilizadas as métricas NIQE [Mittal et al. 2013] e BRISQUE [Bosse et al. 2018].

### **3.4. Avaliação de Desempenho**

#### **3.4.1. Análise Qualitativa**

A análise qualitativa envolve a comparação do método proposto de Super-Resolução (AESR) com técnicas consolidadas da literatura. Os experimentos consideram o aumento

da dimensão das imagens aéreas em  $4 \times$  em relação às imagens de baixa resolução. A qualidade visual das diferentes técnicas no conjunto de dados DSR é analisada, com ênfase nas diferenças em cor, contraste, nitidez e qualidade visual geral. Essa abordagem comparativa oferece insights sobre as vantagens e limitações da técnica proposta, constituindo um passo fundamental para validar sua capacidade de gerar imagens de alta resolução a partir de dados de baixa resolução, especialmente em aplicações aéreas.



**Figura 3: Comparação qualitativa das imagens de super-resolução no conjunto de dados DSR.** Da esquerda para a direita, são apresentadas as imagens aéreas originais (raw) e os resultados dos métodos EDSR, ESPCN, FSRCNN, LapSRN, Real-ESRGAN e da abordagem AESR proposta. A primeira e a terceira linhas representam imagens aéreas do conjunto de dados, enquanto a segunda e a quarta linhas mostram regiões extraídas das imagens correspondentes.

A Figura 3 apresenta as imagens super-resolvidas após a aplicação dos algoritmos de reconstrução de alta resolução, considerando o conjunto de dados DSR. As diferentes linhas mostram cenários distintos, com características desafiadoras para reconstrução, destacando detalhes em cenas variadas. As colunas exibem, da esquerda para a direita, a imagem original, os métodos comparativos da literatura e o método proposto (AESR). Diferentemente dos métodos existentes, o método proposto destaca-se no aumento da resolução de imagens aéreas de baixa qualidade, evitando borramento, contraste excessivo, distorção de cor e recuperando detalhes originais. EDSR, ESPCN, FSRCNN e LapSRN apresentaram reconstruções borradas, com baixa fidelidade nos detalhes. Por outro lado, o Real-ESRGAN mostrou boa qualidade na nitidez e redução do borramento. Contudo, vale destacar que, no Real-ESRGAN, vários detalhes da cena real são perdidos devido ao uso de um filtro passa-baixa para mitigar o efeito de borramento após a reconstrução. O método AESR preservou detalhes nas imagens geradas, apresentando qualidade em cor e contraste e reduzindo os efeitos de borramento nas imagens aéreas reconstruídas.

### 3.4.2. Análise Quantitativa

A análise quantitativa avalia os resultados gerados pelo método AESR proposto e os compara com técnicas de referência na área, incluindo EDSR[Lim et al. 2017], ESPCN[Shi et al. 2016], FSRCNN[Dong et al. 2016], LapSRN [Lai et al. 2017] e Real-ESRGAN [Wang et al. 2021]. As medições quantitativas são utilizadas para determinar a precisão do processo de super-resolução. Para garantir uma avaliação rigorosa, foram empregadas métricas de qualidade com e sem referência. PSNR, SSIM, LPIPS (AlexNet, VGG e SqueezeNet) e DISTS compõem as métricas de análise com referência completa, enquanto NIQE e BRISQUE avaliam a qualidade sem referência.

**Tabela 1: Avaliação da qualidade das imagens, com e sem referência, utilizando as métricas de qualidade PSNR, SSIM, LPIPS (AlexNet, VGG e SqueezeNet), DISTS, NIQE e BRISQUE no conjunto de dados DSR.**

Métricas	EDSR (CVPR 2017)	ESPCN (CVPR 2016)	FSRCNN (ECCV 2016)	LapSRN (CVPR 2017)	Real-ESRGAN (CVPR 2021)	AESR (Proposta)
PSNR ↑	20.152	20.125	20.101	20.126	18.556	<b>21.005</b>
SSIM ↑	0.724	0.721	0.718	0.722	0.646	<b>0.758</b>
LPIPS <sub>Alex</sub> ↓	0.608	0.561	0.544	0.579	0.421	<b>0.402</b>
LPIPS <sub>VGG</sub> ↓	0.520	0.528	0.543	0.536	0.491	<b>0.443</b>
LPIPS <sub>Squeeze</sub> ↓	0.497	0.448	0.405	0.459	0.263	<b>0.228</b>
DISTS ↓	0.233	0.235	0.233	0.237	0.207	<b>0.189</b>
NIQE ↓	0.951	0.954	0.952	0.952	0.901	<b>0.826</b>
BRISQUE ↓	18.947	18.949	18.968	18.980	19.022	<b>18.845</b>

A Tabela 1 apresenta a comparação entre o método proposto e vários algoritmos reconhecidos na literatura, avaliados por métricas de qualidade de imagem com e sem referência. Os resultados mostram que o método proposto supera os demais métodos, mesmo quando testado em um conjunto de dados desafiador de imagens aéreas e considerando diferentes métricas de qualidade. Entre os métodos concorrentes, Real-ESRGAN e EDSR apresentaram o melhor desempenho. O Real-ESRGAN destacou-se em precisão nas métricas LPIPS (AlexNet, VGG e SqueezeNet), DISTS, NIQE e BRISQUE. Em contrapartida, o EDSR alcançou alta precisão nas métricas tradicionais PSNR e SSIM. Embora o AESR tenha apresentado alta precisão em todas as métricas de qualidade, demonstra sua robustez e eficiência para aplicações aéreas.

## 4. Conclusões

Este artigo aborda o problema da super-resolução, reconstruindo imagens aéreas de alta resolução a partir de dados de baixa resolução. Dessa forma, a abordagem proposta viabiliza a transmissão de imagens de baixa resolução capturadas por veículos aéreos para processamento remoto, o que contribui para a melhoria da navegação e da tomada de decisão. O método proposto alcançou alta precisão no DSR, um conjunto de dados desafiador de imagens aéreas para super-resolução. Os resultados indicam que o processo de super-resolução proposto apresenta robustez mesmo em cenas complexas e sob diversas condições, oferecendo alta precisão em diferentes cenários.

## Referências

- Abdullah, Q., Shah, N. S. M., Mohamad, M., Ali, M. H. K., Farah, N., Salh, A., Aboali, M., Mohamad, M. A. H., and Saif, A. (2021). Real-time autonomous robot for object tracking using vision system. *CoRR*.
- Angarano, S., Salvetti, F., Martini, M., and Chiaberge, M. (2023). Generative adversarial super-resolution at the edge with knowledge distillation. *Engineering App. of Artificial Intelligence*, 123:106407.
- Bosse, S., Maniry, D., Müller, K.-R., Wiegand, T., and Samek, W. (2018). Deep neural networks for no-reference and full-reference image quality assessment. *IEEE Trans. on Im. Proc.*, 27(1):206–219.
- Ding, K., Ma, K., Wang, S., and Simoncelli, E. P. (2022). Image quality assessment: Unifying structure and texture similarity. *IEEE Trans. on Pat. Analysis and Machine Intel.*, 44(5):2567–2581.
- Dong, C., Loy, C. C., and Tang, X. (2016). Accelerating the super-resolution convolutional neural network. In Leibe, B., Matas, J., Sebe, N., and Welling, M., editors, *Computer Vision – ECCV 2016*, pages 391–407, Cham. Springer International Publishing.
- Gonzalez, D., Patricio, M. A., Berlanga, A., and Molina, J. M. (2022). A super-resolution enhancement of uav images based on a convolutional neural network for mobile devices. *Personal and Ubiquitous Computing*, 26:1193–1204.
- Lai, W.-S., Huang, J.-B., Ahuja, N., and Yang, M.-H. (2017). Deep laplacian pyramid networks for fast and accurate super-resolution. In *2017 IEEE Conference on Computer Vision and Pattern Recognition (CVPR)*, pages 5835–5843.
- Lim, B., Son, S., Kim, H., Nah, S., and Lee, K. M. (2017). Enhanced deep residual networks for single image super-resolution. In *2017 IEEE Conference on Computer Vision and Pattern Recognition Workshops (CVPRW)*, pages 1132–1140.
- Lin, X., Ozaydin, B., Vudit, V., El Helou, M., and Süsstrunk, S. (2023). Dsr: Towards drone image super-resolution. In Karlinsky, L., Michaeli, T., and Nishino, K., editors, *Computer Vision – ECCV 2022 Workshops*, pages 361–377, Cham. Springer Nature Switzerland.
- Liu, Z.-S., Siu, W.-C., and Chan, Y.-L. (2021). Photo-realistic image super-resolution via variational autoencoders. *IEEE Transactions on Circuits and Systems for Video Technology*, 31(4):1351–1365.
- Mittal, A., Soundararajan, R., and Bovik, A. C. (2013). Making a “completely blind” image quality analyzer. *IEEE Signal Processing Letters*, 20(3):209–212.
- Oliveira, J. A., Drews, P. L. J., and Oliveira, F. G. (2024). Autoencoder-based super-resolution approach for aerial robot navigation. In *2024 Brazilian Symposium on Robotics (SBR) and 2024 Workshop on Robotics in Education (WRE)*, pages 85–90.
- Pratt, W. K. (1978). *Digital Image Processing*. John Wiley & Sons, Nashville, TN.
- Shi, W., Caballero, J., Huszár, F., Totz, J., Aitken, A. P., Bishop, R., Rueckert, D., and Wang, Z. (2016). Real-time single image and video super-resolution using an efficient sub-pixel convolutional neural network. In *2016 IEEE CVPR*, pages 1874–1883.

- Wang, X., Xie, L., Dong, C., and Shan, Y. (2021). Real-esrgan: Training real-world blind super-resolution with pure synthetic data. In *2021 IEEE/CVF International Conference on Computer Vision Workshops (ICCVW)*, pages 1905–1914.
- Wang, Z., Bovik, A. C., Sheikh, H. R., and Simoncelli, E. P. (2004). Image quality assessment: from error visibility to structural similarity. *IEEE transactions on image processing*, 13(4):600–612.
- Zhang, R., Isola, P., Efros, A. A., Shechtman, E., and Wang, O. (2018). The unreasonable effectiveness of deep features as a perceptual metric. In *Proceedings of the IEEE conference on computer vision and pattern recognition*, pages 586–595.